

КРАТКИЕ СООБЩЕНИЯ

УДК 546.774:547.442.3

СТРОЕНИЕ И ТЕРМИЧЕСКИЕ СВОЙСТВА КОМПЛЕКСА МОЛИБДЕНА Mo(acac)₃

А.Ю. Леднева¹, С.Б. Артёмкина^{1,2}, Д.А. Пирязев¹, В.Е. Фёдоров^{1,2}

¹Институт неорганической химии им. А.В. Николаева СО РАН, Новосибирск, Россия

E-mail: ledneva@niic.nsc.ru

²Новосибирский национальный исследовательский государственный университет, Россия

Статья поступила 30 июня 2014 г.

Предложен метод синтеза комплекса Mo(acac)₃ и методом РСА установлена его кристаллическая структура: пр. гр. P2₁/c, $a = 19,7538(5)$, $b = 7,4821(2)$, $c = 34,6190(8)$ Å, $\beta = 96,8055(12)^\circ$, $V = 5080,6(2)$ Å³, $Z = 12$. Соединение исследовано методом термогравиметрического анализа, показано, что результатом разложения является MoO₃.

DOI: 10.15372/JSC20150531

Ключевые слова: молибден, ацетилацетон, синтез, кристаллическая структура, термический анализ.

Получение тонких пленок металлов и их оксидов / сульфидов является актуальной и важной задачей современной химии. Одним из широко известных методов получения тонких пленок является МО CVD. Этот процесс активно используется для получения пленок разнообразного состава и практически для любых металлов [1]. Наиболее удобными прекурсорами для процесса МО CVD являются летучие молекулы, в составе которых имеется набор необходимых атомов в приемлемом стехиометрическом отношении, обеспечивающих получение целевого продукта [2]. Известно, что наиболее перспективным классом соединений для МО CVD являются хелатные комплексы металлов с β-дикетонатными лигандами и с их фторированными производными [3—7].

Молибден, его оксиды и халькогениды представляют большой интерес в микроэлектронике. Для получения тонких пленок методом МО CVD были исследованы свойства летучего гексакарбонила молибдена [8] и тиоморфолиновых производных [9]. В Кембриджской базе структурных данных известны примеры комплексов молибдена, полученные в реакциях с ацетилацетоном (Насас) и его фторированным производным (Hfacac): моноядерные Mo(acac)₂O₂ [10], Mo(acac)₂(NO)₂ [11], биядерные Mo₂Cl₄O₂(Hfacac)₂ [12], трехъядерные M₃Q₄(acac)₃(py)₃⁺ (M = Mo, W, Q = S, Se, O) [13—15]. Однако примеров подобных комплексов немного, также мало известно о термическом поведении таких комплексов. Поэтому разработка методов получения тонкопленочных материалов на основе соединений молибдена является важным направлением материаловедения. В данной работе предложен метод синтеза комплекса молибдена с ацетилацетоном и исследована его термическая устойчивость.

Синтез. Навеску K₃MoCl₆ (0,130 г, 0,3 ммоль) растворяли в 10 мл H₂O, добавляли 2 мл ацетилацетона и перемешивали в течение 12 ч без нагрева. Образовались темно-красные игольчатые кристаллы Mo(acac)₃ (соединение 1). Выход продукта (по молибдену) близок к количественному. EDS:Mo:O = 1:6,04. ИК спектр: присутствуют все полосы, относящиеся к координированному ацетилацетону 410, 447, 458, 541, 557, 598, 665, 678, 781, 810, 908, 939, 958, 1024, 1083, 1192, 1271, 1357, 1427, 1517, 1565, 2921, 2962, 2994, 3430 см⁻¹.

Кристаллографические данные, параметры эксперимента и уточнения структуры Mo(acac)₃

Эмпирическая формула	C ₁₅ H ₂₁ MoO ₆
Молекулярная масса, г/моль	393,26
Сингония	Моноклинная
Пр. гр.	P2 ₁ /c
<i>a</i> , <i>b</i> , <i>c</i> , Å	19,7538(5), 7,4821(2), 34,6190(8)
β, град.	96,8055(12)
<i>V</i> , Å ³	5080,6(2)
<i>Z</i>	12
<i>d</i> _{выч} , г/см ³	1,542
μ, мм ⁻¹	6,563
<i>F</i> (000)	2412,0
Область сбора данных по 2θ, град.	5,14—135,32
Интервалы индексов отражений	-22 ≤ <i>h</i> ≤ 23, -8 ≤ <i>k</i> ≤ 8, -41 ≤ <i>l</i> ≤ 41
Измерено / независ. отражений	29193 / 8917 (<i>R</i> _{int} = 0,0313, <i>R</i> _σ = 0,0313)
GOOF (все отражения)	1,025
Окончательные факторы уточнения [<i>I</i> ≥ 2σ(<i>I</i>)]	<i>R</i> ₁ = 0,0279, <i>wR</i> ₂ = 0,0675
Окончательные факторы уточнения (все отражения)	<i>R</i> ₁ = 0,0336, <i>wR</i> ₂ = 0,0699
Остаточная электронная плотность (мин / макс), е/Å ⁻³	0,39 / -0,55

Рентгеноструктурный анализ. Дифракционное исследование игольчатого кристалла темно-красного цвета размером 0,156×0,055×0,026 мм выполнено при температуре 150 К на автоматическом дифрактометре Bruker DUO, оснащенном двухкоординатным CCD-детектором (CuK_α, λ = 1,54178 Å). Поглощение учтено полуэмпирически по программе SADABS. Структура расшифрована прямым методом и уточнена полноматричным МНК в анизотропном приближении с помощью комплекса программ SHELXTL (см. таблицу). Координаты атомов и полные таблицы геометрических характеристик кристаллической структуры депонированы в Кембриджской базе структурных данных (www.ccdc.cam.ac.uk/data_request/cif) под кодом CCDC 1009713 и также могут быть получены у авторов.

Обсуждение результатов. Соединение кристаллизуется в моноклинной сингонии, пр. гр. P2₁/c. В элементарной ячейке структуры комплекса **1** содержатся три независимых атома молибдена, расположенных в общих позициях. Каждый атом молибдена окружен тремя хелатирующими ацетилацетонатными лигандами (КЧ молибдена равно 6). Атом молибдена, два атома кислорода и три атома углерода ацетилацетонатного лиганда образуют практически плоский шестичленный цикл (рис. 1). Значения углов между плоскостями трех таких циклов в молекуле составляют 117,1(1)—123,5(2)°. Ранее в работе [16] был структурно охарактеризован комплекс аналогичного состава Mo(acac)₃, в независимой части структуры которого содержится всего одна молекула с симметрией, приближенной к D₃. В отличие от ранее описанного, в элементарной ячейке структуры комплекса **1** содержится три независимые искаженные молекулы Mo(acac)₃, при этом увеличиваются параметры и объем элементарной ячейки. Такая упаковка не характерна для большинства известных ацетилацетонатных комплексов состава M(acac)₃ (M = Cr, V, Tl) [17], однако была найдена в комплексе молибдена с гексафторпроизводным ацетилацетона Mo(Hfacac)₃ [18]. Вероятно, различие в упаковках вызвано различиями в условиях кристаллизации: соединение **1** было закристаллизовано из водного маточного раствора, а комплекс, описанный в [16], — из горячего этанола.

Средние расстояния Mo—O в октаэдре MoO₆ равны 2,072 Å. Расстояния C—C и C—O составляют 1,443 и 1,278 Å. Подобные расстояния являются типичными для ацетилацетонатных комплексов и комплексов, содержащих связь Mo—O.

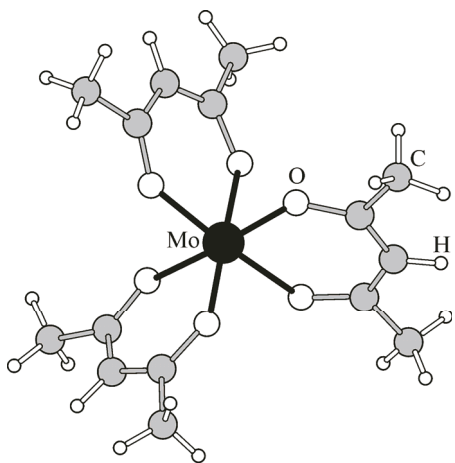


Рис. 1. Строение молекулы $\text{Mo}(\text{acac})_3$ в кристаллической структуре 1

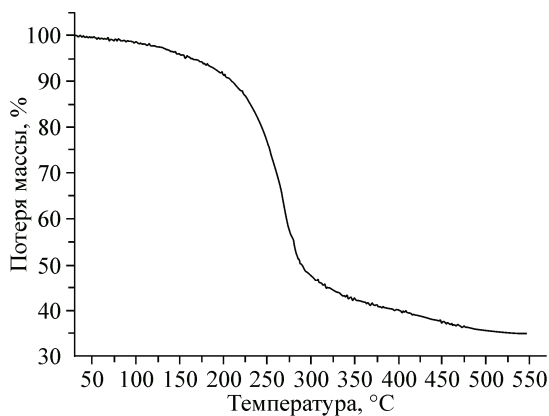


Рис. 2. Кривая потери массы соединения 1 при нагревании в атмосфере гелия

Результаты термогравиметрического анализа (ТГА). Для соединения 1 была записана кривая потери массы (рис. 2) при нагревании со скоростью 10 град./мин в токе гелия 30 мл/мин. Термогравиограмма имеет одну ярко выраженную ступень в интервале от 200 до 350 °C. Остаточная масса при температуре 550 °C составляет 36,34 %, что соответствует конечной формуле продукта разложения MoO_3 . По результатам EDS соотношение $\text{Mo}:\text{O} = 1:3,4$. Таким образом, полученное соединение разлагается до триоксида молибдена, но при этом не переходит в газовую фазу. Подобное свойство можно объяснить наличием большого количества слабых межмолекулярных взаимодействий $\text{CH}\dots\text{O}$ между лигандами соседних молекул. Средние расстояния $\text{CH}\dots\text{O}$ составляют 3,2—3,5 Å. Подобные водородные связи $\text{CH}\dots\text{O}$ с расстояниями примерно 3,3 Å являются структурообразующим фактором, например, в случае протеиновых молекул [19].

Работа выполнена при поддержке Российского фонда фундаментальных исследований (грант 13-03-00145).

СПИСОК ЛИТЕРАТУРЫ

1. Maury F. // Chem. Vap. Deposit. – 1996. – **2**, N 3. – P. 113 – 116.
2. Gleizes A.N. // Chem. Vap. Deposit. – 2000. – **6**, N 4. – P. 155 – 173.
3. Maruyama T., Tago T. // J. Mater. Sci. – 1993. – **28**, N 19. – P. 5345 – 5348.
4. Colominas C., Lau K.H., Hildenbrand D.L. et al. // J. Chem. Eng. Dat. – 2001. – **46**, N 2. – P. 446 – 450.
5. Gardiner R.A., Gordon D.C., Stauf G.T. et al. // Chem. Mater. – 1994. – **6**, N 11. – P. 1967 – 1970.
6. Kodas T.T., Hampden-Smith M.J. The Chemistry of Metal CVD. – Weinheim: Wiley-VCH Verlag GmbH., 2007.
7. Rees W.S., Caballero C.R. // MRS Proceed. – 1992. – **250**. – P. 297 – 301.
8. Wei W.C.J., Lo M.H. // Appl. Organomet. Chem. – 1998. – **12**, N 3. – P. 201 – 220.
9. Olofinjana B., Egharevba G., Taleatu B. et al. // J. Mod. Phys. – 2011. – **2**. – P. 341 – 349.
10. Kamenar B., Penavic C., Prout C.K. // Cryst. Struct. Commun. – 1973. – **2**. – P. 41.
11. Maurya M.R., Dhaka S., Kumar N., Avecilla F. // Trans. Met. Chem. – 2013. – **38**, N 5. – P. 535 – 542.
12. Drew M.G.B., Shanton K.J. // Acta Cryst. B. Crystallogr. Cryst. Chem. – 1978. – **34**. – P. 276.
13. Hernandez-Molina R., Sokolov M., Clegg W. et al. // Inorg. Chim. Acta. – 2002. – **331**. – P. 52 – 58.
14. Hernandez-Molina R., Kalinina I.V., Abramov P.A. et al. // Inorg. Chem. – 2008. – **47**, N 1. – P. 306 – 314.
15. Гущин А.Л., Соколов М.Н., Наумов Д.Ю., Федин В.П. // Изв. РАН. Сер. хим. – 2006. – **11**. – С. 1895 – 1899.
16. Raston C.L., White A.H. // Aust. J. Chem. – 1979. – **32**. – P. 507 – 512.
17. Стабников П.А., Жаркова Г.И., Комиссарова Л.А. и др. // Журн. структур. химии. – 2010. – **51**, № 3. – С. 575 – 586.
18. Champouret Y., Poli R., Daran J.-C. // Acta Crystallogr. E. – 2010. – **66**. – P. M299 – U3548.
19. Jiang L., Lai L.H. // J. Biol. Chem. – 2002. – **277**, N 40. – P. 37732 – 37740.